

非線形抵抗回路網의 解析

車 均 鉉 教授
崇 田 大 學 校

1 序 論

非線形連立方程式을 푸는 표준방법은 Newton-Raphson 反復방법이다^{1,2)}. 이 방법은 2位로 빠르게 수렴하나 어떤 조건 하에서는 발산하거나 해근처에서 진동한다. 그리고 연立方程式의 각 반복마다 Jacobian行列을 반전해야 하므로 이것에 계산시 많은 노력을 요한다. Broyden은 Newton-Raphson 방법을 수정하여 발산을 방지하고 각 반복마다 Jacobian 行列를 반전하지 않는 경제적인 방법을 창안했다²⁾. 본 論文에서는 이 Broyden방법을 컷셋해석을 이용하여 이론을 전개하고 Jacobian 行列의 반전을 구하는 과정의 일부로서 골든색 손탐색(Golden section search)을 백하였다.

2 컷셋해석을 이용한 非線形抵抗回路網의 理論 展開

(a) Broyden방법을 이용한 컷셋해석

컷셋行列 D 와 어드미턴스 行列 Y 를 이용하여回路網에 대한 컷셋方程式은 다음과 같이 쓸 수 있다¹⁾,

$$D^t Y Dl_T = D^t(I - YE) \quad (1)$$

여기서 e_T 는 나무의 가지電壓이고, I 는 電流源벡터이고, E 는 각가지의 電壓源 벡터이다. 그림 1과 같이 가지(branch)를 표시하면 素子양단의 電壓벡터 V 는

$$V = E + e \quad (2)$$

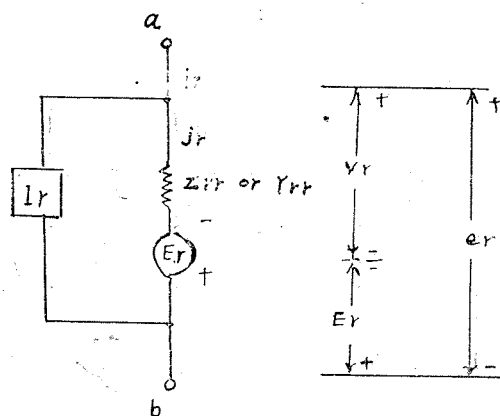


Fig 1. Component of the r th branch of an electrical network

이다. 여기서 e 는 가지電壓벡터이며

$$e=Det \quad (3)$$

이다¹⁾.

(1) 식을 다시 쓰면

$$f(er)=D^t(Y(Det+E)-I)=0 \quad (4)$$

이 된다. (4)식에서 $f(er)$ 는 벡터변수 er 에 대한 벡터함수이며 이것을 誤差벡터라 한다. 變分 det 에 대한 벡터 er 는 df 의 변화를 갖어올것이므로

$$df = \left(\frac{\partial f}{\partial er} \right) er \quad (5)$$

이 된다. 여기서 $\frac{\partial f}{\partial er}$ 는 Jacobian 행렬이며 이 행렬의 ij 번째 要素는

$$\frac{\partial f}{\partial er}_{ij} = \frac{\partial f_i}{\partial er_j}$$

이다. 여기서 f_i 는 $f(er)$ 벡터의 i 번째 要素이고 er_j 는 er 벡터의 j 번째 要素이다. (4)식의 解를 反復法을 이용해서 푼다고 할 때 벡터解에 대한 k 번째 근사 $er(k)$ 에 해당하는 벡터함수 $f(k)=f(er(k))$ 는 0이 아니다. (5)식에 의해 $er(k)$ 의 변화에 따라 $f(k)$ 가 감소하여 0으로 되어야 한다. 그러므로 근사변화는

$$df(k) = -f(k) = \left(\frac{\partial f}{\partial er} \right) (k) det(k) \quad (7)$$

이 되고, $(k+1)$ 번째 근사에서는 解벡터 er 는

$$er(k+1) = er(k) - \left(\frac{\partial f}{\partial er} \right)_{(k)}^{-1} f_{(k)} \quad (8)$$

이 된다. (8)식은 Newton-Raphson의 反復공식이다. (8)식에서 $\frac{\partial f}{\partial er}=D^t \bar{Y}D$ 가 됨을 증명할 수 있다. 여기서 $Y_{ij}=\frac{\partial J_i}{\partial V_j}$ 이다. 그러므로 (8)식은

$$er(k+1) = er(k) - (D^t \bar{Y}D)_{(k)}^{-1} f_{(k)} \quad (6)$$

이 된다. (9)식의 解를 구하기 위해서는 (4)식과 $\bar{Y}(V)$ 의 각 $\bar{Y}(V)$ 를 反復마다. 구해야 한다.

이러 번거로움을 피하기 위하여 Broyden의 非線形微分方程式을 푸는 방법을 도입한다. 즉 (8)식에서 수정벡터

$$P_k = - \left(\frac{\partial f}{\partial er} \right)_k^{-1} f_k \quad (10)$$

을 정의하여 이 수정벡터의 일부를 취하면

$$er(k+1) = er(k) + t_{(k)} P_{(k)} \quad (11)$$

이 된다. 여기서 誤差벡터 $f_{(k+1)}$ 의 길이를 최소화하기 위한 스카라양으로 이렇게 취하므로서 발산을 방지할 수 있다. 그러나 수렴이 보증되는 것은 아니다. t_k 를 취하는 방법으로서 골든색손 탐색방법을 이용하였다. 골든색손탐색에서

$$t_k \triangleq \sum_{k=0}^i r^k \lambda_0 \quad i=0, 1, 2, \dots \quad (12)$$

이다. 여기서 $r=1.618\dots$ 고 λ_0 는 적당한 step-size이다^{1.5)}.

여기서 이 법에 대한 자세한 설명은 하지 않겠으나 이 방법은 구간 $(0, 1)$ 을 연차적으로 미소구간으로 나누어 (4)식의 결과에 따라 t 의 현재값의 좌우로 최적치를 축적해 나가는 것이다.

(11)식의 벡터 er 가 스카라양 t 에 대한 連續函數라 하면

$$er(t) = \partial er_{(k)} + t P_{(k)} \quad (13)$$

이 되며 (4)식과 함께 誤差벡터 $f(er)$ 가 역시 t 의 함수임을 나타낸다. Jacobian행열이 존재한다고 가정하였으므로

$$\frac{df}{dt} = \left(\frac{\partial f}{\partial er} \right) \frac{de_r}{dt} = \left(\frac{\partial f}{\partial er} \right) P_{(k)} \quad (14)$$

이 되고 (14)식은

$$P_{(k)} = \left(\frac{\partial f}{\partial er} \right)_k^{-1} \frac{df}{dt} = H_k \frac{df}{dt} \quad (15)$$

와 같이 쓸 수 있다. Broyden은 $\frac{df}{dt}$ 를 階差方程式으로 계산하였다. 즉 $f_{k+1}=f(t_k)$ 라 정하고 $f(t_{k-s})$ 를 테일러 급수로 전개하여 첫항만을 취하면

$$\frac{df}{dt} = \frac{f_{k+1} - f(t_{k-s})}{s_k} = \frac{y_k}{s_k} \quad (16)$$

이 된다. 여기서 s_k 는 스카라양 t 의 미소증분을 취하고 y_k 는 誤差벡터 f 의 증분이다. (16)식에서

$$y_k = f_{k+1} - f_k \quad (17)$$

라 쓸 수 있고 (15)식과 (16)식을 결합하면

$$H_k Y_k = -S_k P_k \quad (18)$$

가 된다. (18)식은 H_k 가 만족해야 할 條件式이나 H_k 를 유일하게 정하지는 못한다. 그러므로 H_k 를 유일하게 정하기위하여 Broyden은 다음 부대조건을 가정하였다.

즉 P_k 와 다른 방향에서 ∂r 의 변화에 의한 誤

學術論文

差비터 f 의 변화에 의한 誤差비터 f 의 변화에 대한 어떤 정보도 얻을 수 없으므로 P_k 에 Orthogonal한 방향으로 ∂T 의 변화에 의한 f 의 변화는 없다고 본다. 이의 가정에서 recursion 방정식은

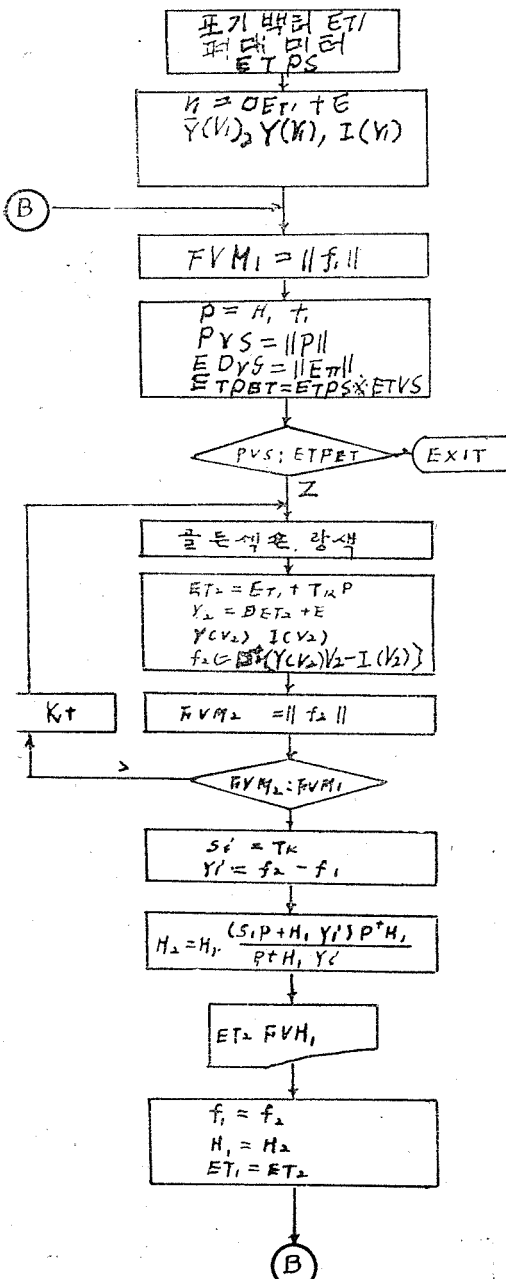


Fig. 2. Flow chart for solving nonlinear resistive network

$$H_{k+1} = H_k - \frac{(S_k P_k + H_k Y_k) P_k^T H_k}{P_k^T H_k Y_k} \quad (19)$$

이 된다.

(19)식이 Jacobian 행렬의 逆行列을 反轉하지 않고 직접 구하는 방법이다. 이상의 算法을 이용하여 非線形抵抗回路網의 解를 구하는 컴퓨터 flow chart는 그림 2와 같다.

(b) Sparse 行列을 이용하여 푸는 방법

이상의 算法을 sparse 行列⁴⁾을 이용하여 푸는 방법은 다음과 같다.

① 최초의 解비터 ∂T_1 을 선정한다.

② $V = D\partial T_1 + E$

$$\bar{Y}(V_1), I_{DN}(V_1), H_1 = D^T \bar{Y}D$$

$$f_1 = D^T (\bar{Y}(V_1) V_1 - I - I_{DN}(V_1)) \text{ 계산}$$

③ $\|f_1\|$ 계산

④ $(D^T \bar{Y}D) P = -f_1$ 을 sparse 行列방법을 이용하여 계산한다.

⑤ $\|P\|, \|\partial T_1\|$ 계산

⑥ $\|P\| < \epsilon \|\partial T_1\|$ 이면 出口

⑦ ⑥이 아니면 골든색손 탐색으로 최적치 t_k 를 구함

⑧ $\partial T_2 = \partial T_1 + t_k P$

$$V_2 = D\partial T_2 + E$$

$$Y(V_2), Y(V_2), I_{DN}(V_2)$$

$$f_2 = D^T (Y(V_2) V_2 - I - I_{DN}(V_2)) \text{ 계산}$$

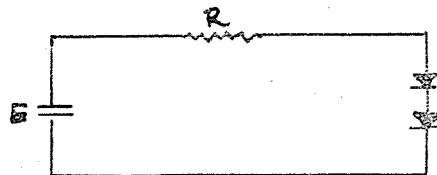
⑨ $\|f_2\|$ 계산

⑩ $\|f_2\| > \|f_1\|$ 이면 ⑦로 간다.

⑪ ⑩이 아니면 $\partial T_1 = \partial T_2$, $f_1 = f_2$ 로 놓고 ③으로 간다.

여기서 $I_{DN}(V)$ 는 그림 4에 표시한 종속 전류 원이다. 회로해석 방법은 ① 閉路(mesh) 解析 ② 節點解析 ③ 基本閉路(fundamental circuit) 解析 ④ 컷셋解析 ⑤ 混合解析 ⑥ 狀態變數解析이 있는데 이중 나무(tree)를 이용하여 풀 수 있는 것이 ③④⑤⑥이다. 混合解析은 임피던스回路網에 대해서는 基本閉路解析法에 의해 어드미던스回路網에 대해서는 컷셋解析法에 의해 가지 전류와 가지전압을 구하고 狀態變數에 의한 解析도 基本閉路와 컷셋해석을 이용하여 구하므로 節點解析보다 컷셋解析이 유통성이 있다.

3 프로그래밍



이상의 算法을 그림 3과 같은 샘플回路網을

Fig. 3. Nonlinear resistive network with
diodes.

TABLE 1

Tree	Branch	Voltage	Error	ITN
-0.6484E 00		-0.4263E 00	0.7059E 00	1
-0.7713E 00		-0.4782E 00	0.1010E 00	1
-0.7940E 00		-0.4772E 00	0.2712E -01	1
-0.7938E 00		-0.4676E 00	0.1389E -01	1
-0.7900E 00		-0.3966E 00	0.1206E -01	1
-0.7936E 00		-0.3979E 00	0.2336E -02	1
-0.7937E 00		-0.3970E 00	0.2161E -03	1
-0.7938E 00		-0.3969E 00	0.4373E -04	1
-0.7938E 00		-0.3969E 00	0.4337E -06	1

TABLE 2

Tree	Branch	Voltage	Error	ITN
-0.7260E 00		-0.3950E 00	0.3085E 00	1
-0.7864E 00		-0.4139E 00	0.4060E 00	1
-0.7931E 00		-0.4101E 00	0.6376E -02	1
-0.7938E 00		-0.4058E 00	0.2345E -02	1
-0.7938E 00		-0.4028E 00	0.1405E -02	1
-0.7938E 00		-0.4008E 00	0.9127E -02	1
-0.7938E 00		-0.4008E 00	0.9127E -03	1
-0.7938E 00		-0.3994E 00	0.5998E -03	1

예를 들어 프로그래밍 한결과 표 1과 표 2와 같은 결과를 얻었다. 표 1은 Broyden 방법을 이용한 컷셋해석결과이고, 표 2는 sparse 행렬을 이용한 컷셋해석결과이다.

4 결론

- (1) Broyden 방법에 의한 컷셋解析方法과 프로그래밍을 제공하고, 모든 색손 탐색의 프로그래밍을 제공했다.
- (2) 컷셋解析이 융통성이 있으므로 混合解析이

나 狀態變數에 의한 解法에도 적용할 수 있다.

- (3) 非線形素子의 線形모델의 프로그래밍을 논했다.

参考文献

1. koo & magnisson, computer orienteed circuit Design, prentice-Hall, June. 1969.
2. F. H. Branin, Jr, and H. H. Wang, A Fast Reliable Iteration method for dc Analysis of nonlinear networks, proc. of the IEEE. Vol. 55, No. 11, pp. 1819~1826, NOV. 1967. 3. W. J. McCalla, and D. O. pederson,